

# SBA-15 负载 $\beta$ -Mg<sub>2</sub>V<sub>2</sub>O<sub>7</sub> 催化剂的制备及其催化丙烷选择氧化脱氢的性能

张胜红, 张鸿鹏, 孙吉莹, 刘海超

北京大学化学与分子工程学院, 分子动态与稳态国家重点实验室, 北京分子科学国家实验室, 北京 100871

**摘要:** 以 MgO 修饰的 SBA-15 为载体, 采用浸渍法制备了负载  $\beta$ -Mg<sub>2</sub>V<sub>2</sub>O<sub>7</sub> 催化剂, 并运用 X 射线衍射、拉曼光谱、紫外-可见漫反射光谱和 H<sub>2</sub> 程序升温还原等技术对催化剂 V 中心的结构和还原性能进行了表征。结果表明,  $\beta$ -Mg<sub>2</sub>V<sub>2</sub>O<sub>7</sub> 具有与  $\alpha$ -Mg<sub>2</sub>V<sub>2</sub>O<sub>7</sub> 相同的结构单元, 但其催化丙烷氧化脱氢 (ODH) 反应的初始活性和初始选择性均低于后者。与体相  $\beta$ -Mg<sub>2</sub>V<sub>2</sub>O<sub>7</sub> 相比, 负载的  $\beta$ -Mg<sub>2</sub>V<sub>2</sub>O<sub>7</sub> 上 V 中心分散度以及丙烷 ODH 反应活性和选择性更高, 520 °C 时丙烷 ODH 反应的初始活性提高了约 20 倍, 丙烯初始选择性也从体相的 88.3% 提高到 94.1%, 接近于  $\alpha$ -Mg<sub>2</sub>V<sub>2</sub>O<sub>7</sub> (94.6%), 并且在 20% 的丙烷转化率时也表现出相似的规律。这与表征催化剂选择性的两个本征动力学参数  $k_1/k_2$  (丙烷初级 ODH 和燃烧反应速率常数之比) 和  $k_3/k_1$  (次级丙烯燃烧和初级丙烷 ODH 反应速率常数之比) 反映出的规律一致。这些对体相和负载的 Mg<sub>2</sub>V<sub>2</sub>O<sub>7</sub> 催化剂催化丙烷 ODH 反应本征特性的认识将有助于设计合成更高效的 Mg-V-O 催化剂, 如基于  $\alpha$ -Mg<sub>2</sub>V<sub>2</sub>O<sub>7</sub> 结构的高分散催化剂, 以获得更高的丙烷 ODH 反应活性和选择性。

**关键词:** 丙烷; 丙烯; 氧化脱氢; 焦钒酸镁; 负载型催化剂

中图分类号: O643 文献标识码: A

## Preparation of SBA-15-Supported $\beta$ -Mg<sub>2</sub>V<sub>2</sub>O<sub>7</sub> Catalysts and Their Properties in Oxidative Dehydrogenation of Propane

ZHANG Shenghong, ZHANG Hongpeng, SUN Jiying, LIU Haichao\*

Beijing National Laboratory for Molecular Sciences, State Key Laboratory for Structural Chemistry of Stable and Unstable Species,  
College of Chemistry and Molecular Engineering, Peking University, Beijing 100871, China

**Abstract:**  $\beta$ -Mg<sub>2</sub>V<sub>2</sub>O<sub>7</sub> catalysts supported on MgO-modified SBA-15 with V surface density of 4.1–8.5 nm<sup>-2</sup> were synthesized by impregnation of the support with a pre-prepared aqueous solution of ammonium metavanadate, citric acid, and magnesium nitrate. The structure and reducibility of the catalysts were characterized by X-ray diffraction, Raman spectroscopy, diffuse reflectance UV-Vis spectroscopy, and temperature-programmed reduction in H<sub>2</sub>. For oxidative dehydrogenation (ODH) of propane, bulk  $\beta$ -Mg<sub>2</sub>V<sub>2</sub>O<sub>7</sub> phase was much less active and selective than  $\alpha$ -Mg<sub>2</sub>V<sub>2</sub>O<sub>7</sub> although they have the same dimeric tetrahedral VO<sub>4</sub> units connected by bridging V–O–V bonds. Compared to the bulk phase, the greater accessibility of V sites on the supported  $\beta$ -Mg<sub>2</sub>V<sub>2</sub>O<sub>7</sub> catalysts led to an increase in not only the initial propane ODH rates by about 20 times but also the initial propene selectivity from 88.3 to 94.1%, as high as that for  $\alpha$ -Mg<sub>2</sub>V<sub>2</sub>O<sub>7</sub> (94.6%) that has been considered as the most selective Mg-V-O phase for propane ODH reactions. The selectivity results are consistent with those reflected by the two kinetic parameters,  $k_1/k_2$  and  $k_3/k_1$ , which represent the ratios of the rate constants for primary propane ODH ( $k_1$ ) to propane combustion ( $k_2$ ) and that for secondary propene combustion ( $k_3$ ) to  $k_1$ . Such understanding on the intrinsic catalytic properties of the bulk and supported Mg<sub>2</sub>V<sub>2</sub>O<sub>7</sub> catalyst provides useful information for design of new Mg-V-O-based catalysts, for example, dispersed  $\alpha$ -Mg<sub>2</sub>V<sub>2</sub>O<sub>7</sub> catalyst with high activity and selectivity for propane ODH reactions under mild conditions.

**Key words:** propane; propene; oxidative dehydrogenation; magnesium pyrovanadate; supported catalyst

随着丙烯需求量的日益增长, 通过传统的蒸气重整和催化裂化工艺生产的丙烯已不能满足工业需

要。因此, 由来源丰富、价格低廉的丙烷通过选择氧化脱氢 (ODH) 反应制备丙烯有望发展成为丙烯生产

收稿日期: 2010-04-29.

联系人: 刘海超. Tel/Fax: (010) 62754031; E-mail: hcliu@pku.edu.cn

基金来源: 国家自然科学基金(20973011, 20825310, 20733009); 国家重点基础研究发展计划(2006CB806100).

的重要途径<sup>[1,2]</sup>. 该反应不仅在热力学上有利, 而且 O<sub>2</sub> 的存在能够有效地避免催化剂因积炭而导致的失活<sup>[3,4]</sup>. 在丙烷 ODH 反应的催化剂中, Mg-V-O 复合氧化物具有较高的活性和丙烯选择性<sup>[3~15]</sup>. 该类催化剂一般包含偏钒酸镁 (MgV<sub>2</sub>O<sub>6</sub>),  $\alpha$ -焦钒酸镁 ( $\alpha$ -Mg<sub>2</sub>V<sub>2</sub>O<sub>7</sub>) 和正钒酸镁 (Mg<sub>3</sub>V<sub>2</sub>O<sub>8</sub>) 三种晶相结构; 其中, 具有钒氧四面体二聚结构单元的  $\alpha$ -Mg<sub>2</sub>V<sub>2</sub>O<sub>7</sub> 催化剂表现出最高的丙烯选择性<sup>[7,15,16]</sup>. 然而, 经高温焙烧制备的纯  $\alpha$ -Mg<sub>2</sub>V<sub>2</sub>O<sub>7</sub> 晶相的比表面积往往较小 ( $\sim 7 \text{ m}^2/\text{g}$ ), 因而限制了 V 中心在丙烷 ODH 反应中的有效利用. 显然, 制备高分散的  $\alpha$ -Mg<sub>2</sub>V<sub>2</sub>O<sub>7</sub> 催化剂, 提高 V 利用率, 有利于改善催化剂性能.

目前, 人们普遍采用负载的方法来提高 Mg-V-O 复合氧化物表面 V 中心分散度和利用率, 常用的载体包括  $\gamma$ -Al<sub>2</sub>O<sub>3</sub>, TiO<sub>2</sub> 和 SiO<sub>2</sub> 等<sup>[9,17]</sup>. 由于 Mg-V-O 中的 V 或 Mg 与载体的相互作用而引起的组分和晶相的偏析, 实际制得的负载催化剂往往包含多种 Mg-V-O 晶相或 V 中心结构. 最近, Chao 等<sup>[18]</sup>采用软模板法制备了介孔 Mg-V-O 复合氧化物, 在乙烷和丙烷 ODH 反应中表现出比传统的体相催化剂更高的低温活性和产物选择性, 但催化剂仍以  $\alpha$ -Mg<sub>2</sub>V<sub>2</sub>O<sub>7</sub>, Mg<sub>3</sub>V<sub>2</sub>O<sub>8</sub> 和 MgO 等晶相共存. 值得一提的是, Pak 等<sup>[10]</sup>采用 Mg(OCH<sub>3</sub>)<sub>2</sub> 水解法在纳米 MgO 表面上制备了单一的 Mg<sub>3</sub>V<sub>2</sub>O<sub>8</sub> 晶相. 然而, 具有更高丙烯选择性的高分散的  $\alpha$ -Mg<sub>2</sub>V<sub>2</sub>O<sub>7</sub> 催化剂体系目前尚未见报道.

本文采用 5% MgO 修饰的 SBA-15 为载体, 制备了具有钒氧四面体二聚结构的负载  $\beta$ -Mg<sub>2</sub>V<sub>2</sub>O<sub>7</sub> 催化剂, 并考察了该催化剂在丙烷 ODH 反应中的初始活性和选择性, 揭示了催化剂性能与其结构之间的关系.

## 1 实验部分

### 1.1 催化剂的制备

参照文献[19], 采用酸性条件下 SBA-15 原位修饰法制备 5% MgO 修饰的 SBA-15 载体, 即 5% MgO/SBA-15. 首先将 2 g 三嵌段聚合物 P123 (EO<sub>20</sub>PO<sub>70</sub>EO<sub>20</sub>, Aldrich) 和一定量 Mg(CH<sub>3</sub>COO)<sub>2</sub>·2H<sub>2</sub>O 溶解在 75 g 盐酸 (1.6 mol/L) 中, 然后在 38 °C 剧烈搅拌下加入 4.25 g 硅酸四乙酯 (TEOS, 汕头西陇化工厂), 原料摩尔比为 TEOS:P123:Mg(CH<sub>3</sub>COO)<sub>2</sub>:HCl:

H<sub>2</sub>O=1:0.02:0.09:6:192, 并在 38 °C 继续搅拌 24 h, 然后转入附有聚四氟乙烯内衬的不锈钢水热釜中, 于 100 °C 密封恒温反应 24 h. 所得溶液在 60 °C 旋蒸出多余溶剂, 于室温干燥后在流动空气中以 1 °C/min 的速率程序升温到 550 °C, 并恒温焙烧 6 h.

采用钒-镁-柠檬酸方法制备 Mg<sub>2</sub>V<sub>2</sub>O<sub>7</sub> 前驱体溶液<sup>[16]</sup>. 首先将一定量偏钒酸铵 (NH<sub>4</sub>VO<sub>3</sub>) 和柠檬酸 (C<sub>6</sub>H<sub>8</sub>O<sub>7</sub>·H<sub>2</sub>O) 溶于适量水中, 在 80 °C 充分反应至无气泡生成. 然后降至室温, 加入计量的 Mg(NO<sub>3</sub>)<sub>2</sub>·6H<sub>2</sub>O, 保持 NH<sub>4</sub>VO<sub>3</sub>:Mg(NO<sub>3</sub>)<sub>2</sub>:C<sub>6</sub>H<sub>8</sub>O<sub>7</sub>=1:1:2, V 浓度为 0.5 mol/L.

以 1 g 的 5% MgO/SBA-15 为载体, 加入计量的 Mg<sub>2</sub>V<sub>2</sub>O<sub>7</sub> 前驱体溶液和 30 ml 无水甲醇, 搅拌下超声分散 1 h, 在 60 °C 旋蒸至干, 然后在流动空气中以 1 °C/min 的速率升温到 550 °C 后, 恒温焙烧 6 h. 所得 Mg<sub>2</sub>V<sub>2</sub>O<sub>7</sub>/5%MgO/SBA-15 催化剂样品简记为 xMgVO, 其中 x 代表催化剂 V 物种的表面密度 (nm<sup>-2</sup>).

将上述 Mg<sub>2</sub>V<sub>2</sub>O<sub>7</sub> 前驱体溶液旋蒸至干, 于 120 °C 干燥, 然后在流动空气中以 10 °C/min 的速率升温到 600 °C 后恒温焙烧 6 h 制得纯相  $\alpha$ -Mg<sub>2</sub>V<sub>2</sub>O<sub>7</sub> 样品. 将该样品再于 800 °C 空气中焙烧 2 h, 即得纯相  $\beta$ -Mg<sub>2</sub>V<sub>2</sub>O<sub>7</sub> 样品.

### 1.2 催化剂的表征

样品的比表面积 在 Micromeritics ASAP 2010 型分析仪上测量. 样品首先在 160 °C 真空 (<1.3 Pa) 脱气 4 h, 然后在液氮温度 (-196 °C) 下进行 N<sub>2</sub> 物理吸附. X 射线衍射 (XRD) 谱在 Rigaku D/Max-2000 型 X 射线衍射仪上获得. 采用 Ni 过滤的 Cu K<sub>α</sub> ( $\lambda=0.154\text{18 nm}$ ) 射线, 工作电压 40 kV, 工作电流 100 mA, 狹缝宽度 0.5°, 扫描速率 2°/min, 扫描范围  $2\theta=10^\circ\text{--}50^\circ$ . H<sub>2</sub> 程序升温还原 (H<sub>2</sub>-TPR) 实验在 Quantachrome 公司 Pulsar TPR 型多功能动态吸附仪上进行. 取含钒量约 3 mg 的样品用 0.3 g 石英砂稀释后装入内径为 4 mm 的石英反应管中, 在 10%H<sub>2</sub>-90%Ar 混合气流 (50 ml/min) 中以 10 °C/min 的速率进行程序升温. 尾气经 P<sub>2</sub>O<sub>5</sub> 干燥后采用 TCD 检测 H<sub>2</sub> 浓度的变化, TCD 响应值通过相同条件下 CuO 的完全还原进行校正. 催化剂的初始 H<sub>2</sub> 还原速率采用文献[20]的方法计算得到.

拉曼 (Raman) 光谱在配有 He-Ne (325 nm) 激发

光源和 CCD 检测器的 Labram HR 800 (UV) 型共聚焦紫外拉曼光谱仪上测定。紫外-可见漫反射光谱 (UV-Vis DRS) 在配有 60 mm 积分球的 Perkin 650S 型光谱仪上测定。首先将样品压成厚度为 1 mm、直径为 15 mm 的圆片，在 20%O<sub>2</sub>-80%N<sub>2</sub> 混合气流 (25 ml/min) 中于 450 °C 原位预处理 1 h，然后在 He 中降至室温，并以标准空白为参比收集 200~800 nm 激发光源下的漫反射数据。漫反射数据通过 Kubelka-Munk 方程转化为吸收谱，并计算相关吸收边界能<sup>[21]</sup>。

### 1.3 催化剂的评价

丙烷 ODH 反应在常压微型固定床反应装置上进行。将 0.03~0.1 g 催化剂 (60~80 目) 用 1.5 g 石英砂 (40~60 目) 稀释，混合均匀后装入内径为 6 mm 的石英管中，反应温度采用 K 系热电偶进行控制。催化剂在反应前首先在 20%O<sub>2</sub>-80%N<sub>2</sub> 混合气流 (25 ml/min) 中于 550 °C 预处理 1 h，然后降温到 520 °C，常压下进行丙烷 ODH 反应。反应气组成为：C<sub>3</sub>H<sub>8</sub> 9.12 kPa, O<sub>2</sub> 1.52 kPa, N<sub>2</sub> 平衡气。通过控制总流量 (75~200 ml/min) 来调节反应气体的床层停留时间，以控制丙烷和 O<sub>2</sub> 的转化率分别小于 2.5% 和 10%。尾气在进入色谱仪之前保持在 100 °C，以防止部分含氧有机物发生冷凝。反应产物采用 Shimadzu GC 2014 型气相色谱仪进行在线分析，其中 CO 和 CO<sub>2</sub> 经 Porapak Q 和 5A 分子筛填充柱分离后以 TCD 检测；C<sub>3</sub>H<sub>8</sub>, C<sub>3</sub>H<sub>6</sub> 以及少量的 C<sub>2</sub>H<sub>4</sub>, CH<sub>4</sub> 和其它含氧有机物经 HP-PLOT/Q 毛细管柱分离后以 FID 检测。空白反应结果表明，在相同实验条件下，只有石英砂或载体存在时，单纯丙烷气相反应转化率均低于 0.05%，故其影响可以忽略。

## 2 结果与讨论

### 2.1 催化剂的结构

图 1 为体相和负载 Mg<sub>2</sub>V<sub>2</sub>O<sub>7</sub> 催化剂的 XRD 谱。由图可见，体相 α-Mg<sub>2</sub>V<sub>2</sub>O<sub>7</sub> 和 β-Mg<sub>2</sub>V<sub>2</sub>O<sub>7</sub> 的衍射峰与相应的标准图谱 (JCPDS 31-0816, 70-1163) 吻合。负载 Mg<sub>2</sub>V<sub>2</sub>O<sub>7</sub> 催化剂在  $2\theta = 28.1^\circ$  处出现了 β-Mg<sub>2</sub>V<sub>2</sub>O<sub>7</sub> 晶相的特征衍射峰，并随着 V 表观表面密度的增加而增强。但未观察到对应于 α-Mg<sub>2</sub>V<sub>2</sub>O<sub>7</sub> 晶相的衍射峰，说明负载催化剂表面形成了 β-Mg<sub>2</sub>V<sub>2</sub>O<sub>7</sub>，未形成预期的 α-Mg<sub>2</sub>V<sub>2</sub>O<sub>7</sub>。

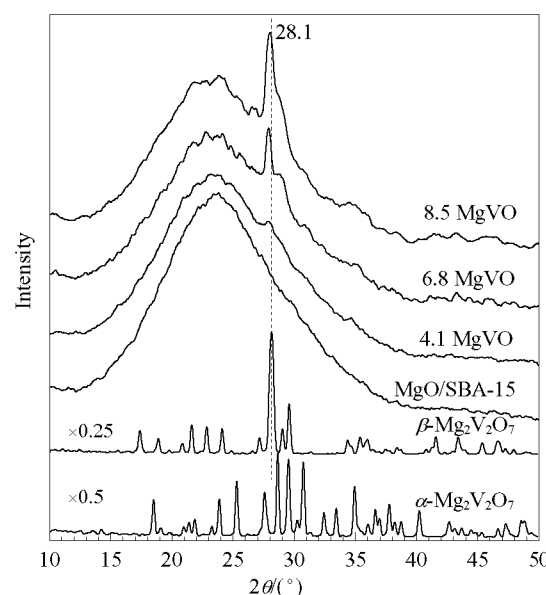


图 1 体相和 SBA-15 负载 Mg<sub>2</sub>V<sub>2</sub>O<sub>7</sub> 催化剂的 XRD 谱  
Fig. 1. XRD patterns of bulk and SBA-15-supported Mg<sub>2</sub>V<sub>2</sub>O<sub>7</sub> catalyst samples (denoted MgVO) with apparent V surface density of 4.1, 6.8, and 8.5 nm<sup>-2</sup>.

由表 1 可以看出，随着 V 表面密度从 4.1 nm<sup>-2</sup> 增大到 8.5 nm<sup>-2</sup>，β-Mg<sub>2</sub>V<sub>2</sub>O<sub>7</sub> 的平均粒径从 8.1 nm 增至 27.3 nm。相应地，催化剂比表面积从 272.3 m<sup>2</sup>/g 降至 177.0 m<sup>2</sup>/g，但仍远高于纯相 α-Mg<sub>2</sub>V<sub>2</sub>O<sub>7</sub> (7.5 m<sup>2</sup>/g) 和 β-Mg<sub>2</sub>V<sub>2</sub>O<sub>7</sub> (2.4 m<sup>2</sup>/g)。

表 1 体相和 SBA-15 负载 Mg<sub>2</sub>V<sub>2</sub>O<sub>7</sub> 催化剂的比表面积、吸收边界能和平均粒径

Table 1 Surface area, apparent V surface density, adsorption edge energy, and average crystallite size for bulk and SBA-15-supported Mg<sub>2</sub>V<sub>2</sub>O<sub>7</sub> catalyst samples

Sample	V content (%)	$A_{BET}/(m^2/g)$	Adsorption edge energy (eV)	Average size <sup>a</sup> (nm)
MgO/SBA-15	0.0	799.2	—	—
4.1 MgVO	9.5	272.3	2.99	8.1
6.8 MgVO	11.6	199.6	3.03	21.8
8.5 MgVO	12.7	177.0	3.05	27.3
β-Mg <sub>2</sub> V <sub>2</sub> O <sub>7</sub>	38.8	2.4	2.74	63.1
α-Mg <sub>2</sub> V <sub>2</sub> O <sub>7</sub>	38.8	7.5	3.30	73.5

<sup>a</sup>Calculated from XRD patterns by the Scherrer equation.

图 2 为体相和负载 Mg<sub>2</sub>V<sub>2</sub>O<sub>7</sub> 催化剂的 Raman 谱。由图可见，负载的催化剂只在 881 和 1 013 cm<sup>-1</sup> 处出现 β-Mg<sub>2</sub>V<sub>2</sub>O<sub>7</sub> 的特征振动峰，在 949 和 902 cm<sup>-1</sup> 处没有出现 α-Mg<sub>2</sub>V<sub>2</sub>O<sub>7</sub> 的振动峰<sup>[16]</sup>。这与 XRD 结果一致，表明负载催化剂表面形成了 β-Mg<sub>2</sub>V<sub>2</sub>O<sub>7</sub>。负载 Mg<sub>2</sub>V<sub>2</sub>O<sub>7</sub> 催化剂在 944 cm<sup>-1</sup> 处出

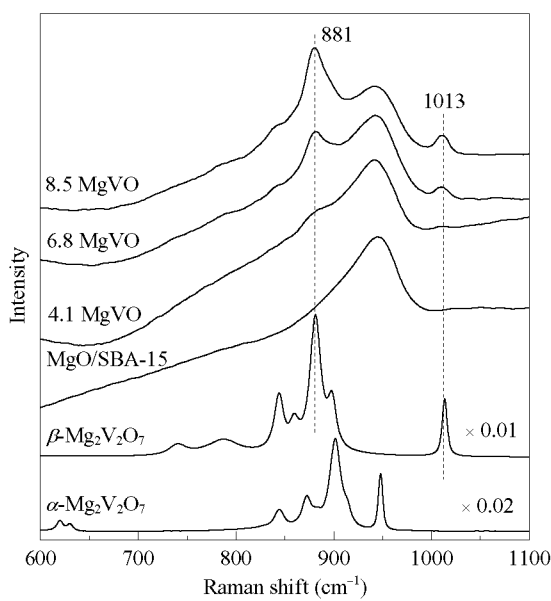


图 2 体相和负载  $\text{Mg}_2\text{V}_2\text{O}_7$  催化剂的 Raman 谱

Fig. 2. Raman spectra of bulk and SBA-15-supported  $\text{Mg}_2\text{V}_2\text{O}_7$  catalyst samples.

现的包峰归属于 SBA-15 的 Si-OH 振动<sup>[21,22]</sup>。并且,负载  $\text{Mg}_2\text{V}_2\text{O}_7$  催化剂的 Raman 谱在  $995\text{ cm}^{-1}$  处也未出现对应于  $\text{V}_2\text{O}_5$  中 V=O 键的特征振动峰,表明催化剂焙烧后没有  $\text{V}_2\text{O}_5$  晶相的偏析。这也暗示表面 V 物种主要形成了 V-O-Mg 键,没有直接与 SBA-15 相连。因为  $\text{SiO}_2$  不能有效地分散  $\text{VO}_x$  物种,当 V 表面密度约为  $2.0\text{ nm}^{-2}$  时,  $\text{SiO}_2$  表面上可明显观察到晶相  $\text{V}_2\text{O}_5$  的生成<sup>[23]</sup>。另外,负载催化剂上也未在  $1037\text{ cm}^{-1}$  处附近出现对应于孤立 V 物种的振动峰。尽管目前采集的 Raman 谱还不能完全排除负载催化剂上少量孤立 V 物种甚至  $\alpha\text{-Mg}_2\text{V}_2\text{O}_7$  物种的存在,但其表面主要形成了  $\beta\text{-Mg}_2\text{V}_2\text{O}_7$  晶相结构。

另外,钒-镁-柠檬酸前驱体经直接焙烧往往转化为单斜晶相  $\alpha\text{-Mg}_2\text{V}_2\text{O}_7$ , 它在  $773\text{ °C}$  才能进一步发生相变转化为三斜晶相  $\beta\text{-Mg}_2\text{V}_2\text{O}_7$ <sup>[16]</sup>。然而,  $\text{MgO}/\text{SBA-15}$  负载的钒-镁-柠檬酸前驱体在  $550\text{ °C}$  (或更低温度) 下焙烧后便获得了  $\beta\text{-Mg}_2\text{V}_2\text{O}_7$ 。对比实验发现,在相同焙烧条件下,常规  $\text{SiO}_2$  表面上也能一定程度地形成  $\beta\text{-Mg}_2\text{V}_2\text{O}_7$ , 而在  $\gamma\text{-Al}_2\text{O}_3$  和  $\text{TiO}_2$  载体上却不能观察到  $\beta\text{-Mg}_2\text{V}_2\text{O}_7$ 。已有研究表明,在其它焦钒酸盐体系中通过某种诱导也能够发生  $\alpha \rightarrow \beta$  的相变<sup>[24,25]</sup>。我们推测,钒-镁-柠檬酸前驱体在  $\text{MgO}/\text{SBA-15}$  上分解形成三斜晶相  $\beta\text{-Mg}_2\text{V}_2\text{O}_7$  可能与

SBA-15 的性质或高温焙烧时它与  $\text{MgO}$  作用形成的 Si-O-Mg 结构有关。

由于 O-V 中心之间的电荷转移(CT)所需的能量对  $\text{V}^{5+}$  中心的配位状态非常敏感<sup>[26,27]</sup>, UV-Vis DRS 谱可有效提供 V 中心配位状态等方面的信息。图 3 给出了体相和负载的  $\text{Mg}_2\text{V}_2\text{O}_7$  催化剂的 UV-Vis 谱。体相  $\beta\text{-Mg}_2\text{V}_2\text{O}_7$  的吸收带主要位于  $285$  和  $360\text{ nm}$  附近, 归属于聚合的钒氧四面体结构<sup>[22]</sup>。负载  $\beta\text{-Mg}_2\text{V}_2\text{O}_7$  催化剂的最强吸收带随着 V 表面密度从  $4.1\text{ nm}^{-2}$  增大到  $8.5\text{ nm}^{-2}$  而逐渐向  $280\text{ nm}$  红移; 吸收边界能同时从  $2.99\text{ eV}$  增加至  $3.05\text{ eV}$ (见表 1)。研究表明,随着表面 V 物种从分散的  $\text{V=O}(\text{OMe})_3$  结构转变为二维聚合结构,其吸收边界能一般从  $3.40\text{ eV}$  逐步下降到  $2.80\text{ eV}$ <sup>[22,26,28]</sup>。UV-Vis DRS 谱表征结果表明, V 表面密度为  $4.1\sim 8.5\text{ nm}^{-2}$  的负载  $\text{Mg}_2\text{V}_2\text{O}_7$  催化剂表面主要存在二聚的  $\text{V}_2\text{O}_7^{4-}$  结构。

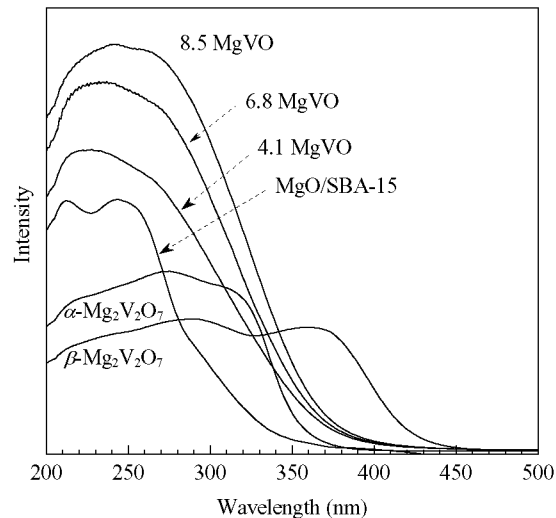


图 3 体相和负载  $\text{Mg}_2\text{V}_2\text{O}_7$  催化剂的 UV-Vis DRS 谱

Fig. 3. UV-Vis DRS spectra of bulk and supported  $\text{Mg}_2\text{V}_2\text{O}_7$  catalyst samples.

图 4 为体相和负载  $\text{Mg}_2\text{V}_2\text{O}_7$  催化剂的  $\text{H}_2$ -TPR 谱; 相应的初始还原温度和接近丙烷 ODH 反应温度( $500\sim 550\text{ °C}$ )时计算得到的  $\text{H}_2$  还原速率列于表 2。由图 4 可以看出,随着负载  $\text{Mg}_2\text{V}_2\text{O}_7$  催化剂中 V 表面密度从  $4.1\text{ nm}^{-2}$  增大至  $8.5\text{ nm}^{-2}$ ,  $\text{V}^{5+}\rightarrow\text{V}^{3+}$  的还原峰温度从  $681\text{ °C}$  增至  $690\text{ °C}$ 。由表 2 可以看出,催化剂的初始还原温度也从  $453\text{ °C}$  增至  $465\text{ °C}$ ; 相应地,  $525\text{ °C}$  时 V 物种的  $\text{H}_2$  还原速率也从 0.30 降低到

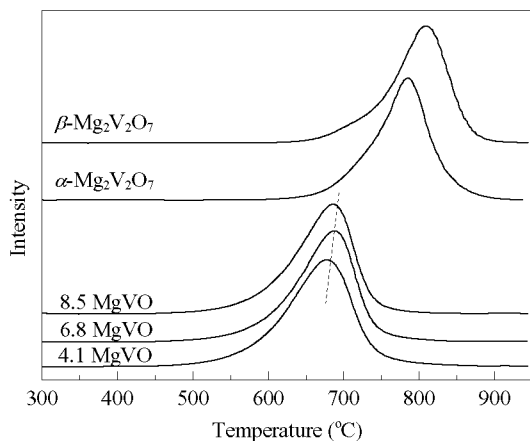
图 4 体相和负载  $\text{Mg}_2\text{V}_2\text{O}_7$  催化剂的  $\text{H}_2$ -TPR 谱

Fig. 4.  $\text{H}_2$ -TPR profiles of bulk and SBA-15-supported  $\text{Mg}_2\text{V}_2\text{O}_7$  catalyst samples.

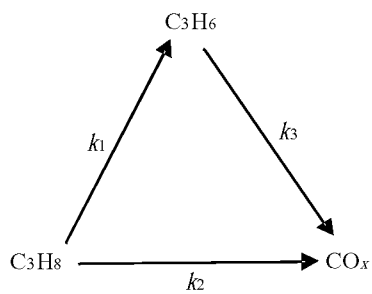
表 2 体相和负载  $\text{Mg}_2\text{V}_2\text{O}_7$  催化剂的初始  $\text{H}_2$  还原温度和还原速率Table 2 Initial  $\text{H}_2$  reduction temperature and reduction rates for bulk and SBA-15-supported  $\text{Mg}_2\text{V}_2\text{O}_7$  catalyst samples

Sample	$T_{\text{onset}}/^\circ\text{C}$	$\text{H}_2$ reduction rate (mol/(mol·h))		
		500 °C	525 °C	550 °C
$\alpha\text{-Mg}_2\text{V}_2\text{O}_7$	555	0.00	0.00	0.00
$\beta\text{-Mg}_2\text{V}_2\text{O}_7$	564	0.00	0.00	0.00
4.1 MgVO	453	0.14	0.30	0.58
6.8 MgVO	462	0.10	0.22	0.42
8.5 MgVO	465	0.12	0.24	0.45

0.24 mol/(mol·h). 这表明 V 中心的氧化还原性能随着表面 V 密度的增加而逐渐降低。尽管如此，负载催化剂的初始还原温度仍然比体相  $\beta\text{-Mg}_2\text{V}_2\text{O}_7$  低约 100 °C，说明负载的  $\beta\text{-Mg}_2\text{V}_2\text{O}_7$  结构具有更高的还原性。还可以看出， $\beta\text{-Mg}_2\text{V}_2\text{O}_7$  的还原峰温度 (815 °C) 也高于  $\alpha\text{-Mg}_2\text{V}_2\text{O}_7$  的还原峰温度 (790 °C)。这表明  $\alpha\text{-Mg}_2\text{V}_2\text{O}_7$  比  $\beta\text{-Mg}_2\text{V}_2\text{O}_7$  具有更高的还原性。二者氧化还原性能的差异可能与它们各自二聚  $\text{V}_2\text{O}_7^{4-}$  单元的结构和电子特性有关。在单斜晶相  $\alpha\text{-Mg}_2\text{V}_2\text{O}_7$  中 V–O–V 的 V–O 键长分别为 0.193 和 0.182 nm<sup>[29]</sup>，而三斜晶相  $\beta\text{-Mg}_2\text{V}_2\text{O}_7$  中相应的键长分别为 0.182 和 0.178 nm<sup>[30]</sup>。这表明在  $\beta\text{-Mg}_2\text{V}_2\text{O}_7$  中 V–O 间的作用更强。因此，V–O–V 桥键 O 在  $\beta\text{-Mg}_2\text{V}_2\text{O}_7$  中比在  $\alpha\text{-Mg}_2\text{V}_2\text{O}_7$  中更难在 V 中心还原过程中移除。

## 2.2 催化剂上丙烷 ODH 的反应活性和选择性

丙烷 ODH 反应的路径示于图式 1。可以看出，该反应包括丙烷初级 ODH 反应、燃烧反应以及次



图式 1 丙烷 ODH 反应路径示意图

Scheme 1. Reaction network for oxidative dehydrogenation (ODH) of propane.

级丙烯的燃烧反应<sup>[28,31]</sup>。丙烷 ODH 反应的活性可表示为每个 V 原子上的表观丙烯生成速率 ( $\text{s}^{-1}$ )。在较低的丙烷和  $\text{O}_2$  转化率时，这三个反应遵循准一级反应动力学<sup>[28]</sup>。丙烷 ODH 反应速率和直接燃烧反应速率，以及相应的速率常数  $k_1$  和  $k_2$ ，可以通过将初级丙烷 ODH 反应速率和丙烯选择性反推至接触时间为 0，即  $\text{O}_2$  和丙烷转化率为 0 时的数值来获得；次级丙烯燃烧反应的速率和速率常数  $k_3$  也可以通过将丙烯收率反推至接触时间为 0 时获得<sup>[28]</sup>。

图 5 为 9.6 MgVO 催化剂上丙烷 ODH 反应中丙烷转化率和丙烯选择性随接触时间的变化。丙烷转化率随接触时间的缩短线性降低，并且在外推至接触时间为 0 时，转化率也基本为 0。这说明该反应条件下可以忽略扩散的影响。缩短接触时间，CO 和  $\text{CO}_2$  ( $\text{CO}_x$ ) 的选择性明显下降，而丙烯选择性线性上升。这反映了图式 1 所示的丙烷 ODH 反应路径。

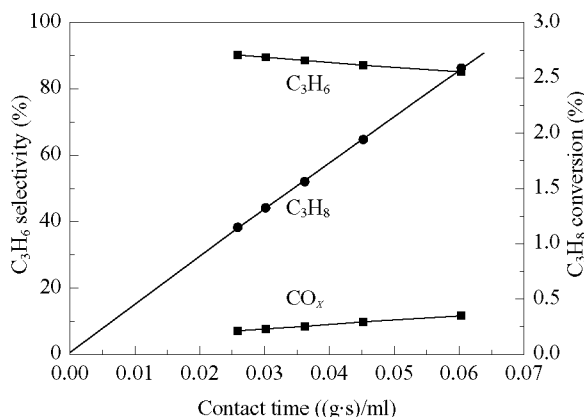


图 5 接触时间对 9.6 MgVO 催化剂上丙烷转化率和产物选择性的影响

Fig. 5. Effects of contact time on propane conversion and product selectivity over 9.6 MgVO catalyst. Reaction conditions: 0.0754 g catalyst, 520 °C,  $p(\text{C}_3\text{H}_8) = 9.12 \text{ kPa}$ ,  $p(\text{O}_2) = 1.52 \text{ kPa}$ .

表 3 为体相和负载  $\text{Mg}_2\text{V}_2\text{O}_7$  催化剂上丙烷 ODH 反应的初始活性和初始丙烯选择性。可以看出, 在相同反应条件下, 纯相  $\alpha\text{-Mg}_2\text{V}_2\text{O}_7$  上单位 V 原子初始活性为  $175.7 \mu\text{mol}/(\text{mol}\cdot\text{s})$ , 明显高于  $\beta\text{-Mg}_2\text{V}_2\text{O}_7$  ( $31.7 \mu\text{mol}/(\text{mol}\cdot\text{s})$ )。负载  $\beta\text{-Mg}_2\text{V}_2\text{O}_7$  催化剂的初始活性随 V 表面密度从  $8.5 \text{ nm}^{-2}$  减小到  $4.1 \text{ nm}^{-2}$  而从  $556.8 \mu\text{mol}/(\text{mol}\cdot\text{s})$  增大到  $673.0 \mu\text{mol}/(\text{mol}\cdot\text{s})$ , 明显高于纯相上的数值, 特别是与体相  $\beta\text{-Mg}_2\text{V}_2\text{O}_7$  相比, 提高了约 20 倍。这可能是由于 V 中心利用率的提高和催化剂还原性能的改善所致。从表 2 可知, 在接近反应温度 ( $500\text{--}550^\circ\text{C}$ ) 时, 负载  $\beta\text{-Mg}_2\text{V}_2\text{O}_7$  催化剂 V 中心的  $\text{H}_2$  还原速率远高于体相  $\text{Mg}_2\text{V}_2\text{O}_7$  的数值, 催化剂 V 中心的氧化还原性对其丙烷 ODH 反应活性的影响规律与文献<sup>[11,31]</sup>中结论一致, 反映了丙烷 ODH 反应遵循晶格氧参与的 Mars-van Krevelen 氧化还原机理。这些结果表明,  $\beta\text{-Mg}_2\text{V}_2\text{O}_7$  晶相分散度的增加有利于提高 V 中心的还原程度和相应的催化活性。

表 3 体相和负载  $\text{Mg}_2\text{V}_2\text{O}_7$  催化剂上丙烷 ODH 反应的初始活性和丙烯选择性

Table 3 Initial rates, initial propene selectivity of propane ODH reactions over bulk and supported  $\text{Mg}_2\text{V}_2\text{O}_7$  catalyst samples

Sample	Initial rate <sup>a</sup> ( $10^{-6} \text{ s}^{-1}$ )	Initial $\text{C}_3\text{H}_6$ selectivity (%)	$k_1/k_2$	$k_3/k_1$
$\alpha\text{-Mg}_2\text{V}_2\text{O}_7$	175.7	94.6	18.2	5.4
$\beta\text{-Mg}_2\text{V}_2\text{O}_7$	31.7	88.3	7.5	18.2
4.1 MgVO	673.0	93.7	14.8	8.8
6.8 MgVO	631.1	94.0	15.6	7.6
8.5 MgVO	556.8	94.1	15.8	7.5

Reaction conditions:  $520^\circ\text{C}$ ,  $p(\text{C}_3\text{H}_8) = 9.12 \text{ kPa}$ ,  $p(\text{O}_2) = 1.52 \text{ kPa}$ .

<sup>a</sup> Assuming that all vanadium atoms are available in propane ODH reactions.  $k_1$ : the rate constant for primary propane ODH;  $k_2$ : the rate constant for propane combustion;  $k_3$ : the rate constant for secondary propene combustion.

由表 3 亦可知, 负载后, 丙烯的初始选择性由体相  $\beta\text{-Mg}_2\text{V}_2\text{O}_7$  上的 88.3% 提高至约 94.0%, 且在 V 表面密度为  $4.1\text{--}8.5 \text{ nm}^{-2}$  范围内基本保持恒定, 接近体相  $\alpha\text{-Mg}_2\text{V}_2\text{O}_7$  的结果 (94.6%)。表 1 显示 V 中心吸收边界能在体相和负载  $\beta\text{-Mg}_2\text{V}_2\text{O}_7$  以及  $\alpha\text{-Mg}_2\text{V}_2\text{O}_7$  上也依次增加, 分别为 2.74, 3.03 和 3.30 eV。这说明各催化剂上丙烯初始选择性的变化趋势与其相应的 V 物种吸收边界能的变化规律一致。Chen 等<sup>[31,32]</sup>的研究表明, 丙烷 ODH 反应和电子从

O 到 V 中心的 CT 跃迁具有相似的机理, 前者涉及丙烷活化过程中亚甲基 C-H 键上的电子向  $\text{V}^{5+}$  的转移, 致使 C-H 键弱化而易于活化或深度氧化, 而后者则代表配体 O 上的电子向  $\text{V}^{5+}$  跃迁所需要克服的能量垒。

为了进一步比较这些催化剂的选择性, 表 3 还列出了反应速率常数的比值, 即  $k_1/k_2$  和  $k_3/k_1$ 。Khodakov 等<sup>[28]</sup>的研究表明,  $k_1/k_2$  反映催化剂活性中心催化丙烷 ODH 反应的本征选择性, 而  $k_3/k_1$  则决定给定转化率下丙烯选择性。由表 3 可见, 负载  $\beta\text{-Mg}_2\text{V}_2\text{O}_7$  催化剂的  $k_1/k_2$  值明显高于体相  $\beta\text{-Mg}_2\text{V}_2\text{O}_7$  的数值, 并且随着 V 表面密度的增加而略有提高, 趋近于  $\alpha\text{-Mg}_2\text{V}_2\text{O}_7$  的结果。相反, 负载的  $\beta\text{-Mg}_2\text{V}_2\text{O}_7$  催化剂的  $k_3/k_1$  值则明显低于体相  $\beta\text{-Mg}_2\text{V}_2\text{O}_7$  的数值, 并且随着 V 表面密度的增加而下降, 逐渐接近  $\alpha\text{-Mg}_2\text{V}_2\text{O}_7$  的数值。 $k_1/k_2$  和  $k_3/k_1$  值的分析结果表明, 体相  $\alpha\text{-Mg}_2\text{V}_2\text{O}_7$  比  $\beta\text{-Mg}_2\text{V}_2\text{O}_7$  更有利于初级丙烷 ODH 反应生成丙烯,  $\beta\text{-Mg}_2\text{V}_2\text{O}_7$  上更利于发生丙烯的深度氧化反应, 而负载  $\beta\text{-Mg}_2\text{V}_2\text{O}_7$  催化剂则能够明显降低丙烯燃烧速率, 进而获得较高的丙烯选择性和收率。

图 6 显示了体相和负载  $\text{Mg}_2\text{V}_2\text{O}_7$  催化剂上丙烯选择性随丙烷转化率的变化结果。可以看出, 在丙烷转化率 ( $1.0\%\text{--}2.5\%$ ) 较低时, 丙烯选择性在  $\beta\text{-Mg}_2\text{V}_2\text{O}_7$  上远低于  $\alpha\text{-Mg}_2\text{V}_2\text{O}_7$ , 而负载  $\beta\text{-Mg}_2\text{V}_2\text{O}_7$

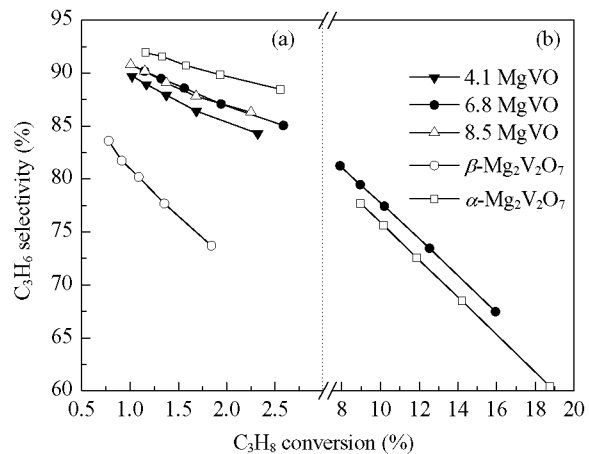


图 6 体相和负载  $\text{Mg}_2\text{V}_2\text{O}_7$  催化剂上丙烯选择性随丙烷转化率的变化

Fig. 6. Changes in the propene selectivity with propane conversion over bulk and supported  $\text{Mg}_2\text{V}_2\text{O}_7$  catalyst samples. Reaction conditions: (a)  $520^\circ\text{C}$ ,  $p(\text{C}_3\text{H}_8) = 9.12 \text{ kPa}$ ,  $p(\text{O}_2) = 1.52 \text{ kPa}$ ; (b)  $550^\circ\text{C}$ ,  $p(\text{C}_3\text{H}_8) = 8.11 \text{ kPa}$ ,  $p(\text{O}_2) = 4.05 \text{ kPa}$ .

催化剂上丙烯选择性比体相  $\beta\text{-Mg}_2\text{V}_2\text{O}_7$  显著提高，并随着 V 表面密度的增加而接近  $\alpha\text{-Mg}_2\text{V}_2\text{O}_7$  上的结果。在丙烷转化率提高到 10%~20% 时，8.5 MgVO<sub>4</sub> 上丙烯选择性仍与  $\alpha\text{-Mg}_2\text{V}_2\text{O}_7$  上的接近。这些给定丙烷转化率下的丙烯选择性的变化与  $k_1/k_2$  及  $k_3/k_1$  反映出的规律一致，再次证实本征动力学参数  $k_1/k_2$  和  $k_3/k_1$  可有效预测丙烷 ODH 反应中的丙烯选择性。

### 3 结论

以 5% MgO 修饰的 SBA-15 为载体，制备了具有二聚  $\text{V}_2\text{O}_7^{4-}$  结构的负载  $\beta\text{-Mg}_2\text{V}_2\text{O}_7$  催化剂。与体相  $\beta\text{-Mg}_2\text{V}_2\text{O}_7$  相比，负载  $\beta\text{-Mg}_2\text{V}_2\text{O}_7$  催化剂在丙烷 ODH 反应中具有较高的 V 中心利用率，520 °C 时丙烷 ODH 反应的初始活性提高了约 20 倍，丙烯的初始选择性也从 88.3% 提高到 94.1%，接近于  $\alpha\text{-Mg}_2\text{V}_2\text{O}_7$  的水平（94.6%）。并且，在给定较高丙烷转化率时也表现出了相似的结果。显然，负载  $\beta\text{-Mg}_2\text{V}_2\text{O}_7$  催化剂不仅显著提高了 V 中心的分散度和催化活性，而且在丙烷 ODH 反应中具有较高的丙烯选择性。因此，若能够成功制备分散的  $\alpha\text{-Mg}_2\text{V}_2\text{O}_7$  催化剂，将有利于实现高效的丙烷 ODH 反应。

### 参 考 文 献

- 1 Kung H H. *Adv Catal*, 1994, **40**: 1
- 2 Blasco T, Nieto J M L. *Appl Catal A*, 1997, **157**: 117
- 3 Bhasin M M, McCain J H, Vora B V, Imai T, Pujad P R. *Appl Catal A*, 2001, **221**: 397
- 4 Cavani F, Ballarini N, Cericola A. *Catal Today*, 2007, **127**: 113
- 5 Chaar M A, Patel D, Kung H H. *J Catal*, 1988, **109**: 463
- 6 Corma A, Lopez Nieto J M, Paredes N. *Appl Catal A*, 1993, **104**: 161
- 7 Carrazan S R G, Peres C, Bernard J P, Ruwet M, Ruiz P, Delmon B. *J Catal*, 1996, **158**: 452
- 8 Gao X T, Ruiz P, Xin Q, Guo X X, Delmon B. *J Catal*, 1994, **148**: 56
- 9 Gao X T, Xin Q, Guo X X. *Appl Catal A*, 1994, **114**: 197
- 10 Pak C, Bell A T, Tilley T D. *J Catal*, 2002, **206**: 49
- 11 Rybarczyk P, Berndt H, Radnik J, Pohl M M, Buyevskaya O, Baerns M, Bruckner A. *J Catal*, 2001, **202**: 45
- 12 Sugiyama S, Hirata Y, Nakagawa K, Sotowa K I, Maehara K, Himeno Y, Ninomiya W. *J Catal*, 2008, **260**: 157
- 13 Evans O R, Bell A T, Tilley T D. *J Catal*, 2004, **226**: 292
- 14 计宝峰, 汪纪波, 楚文玲, 朱雪峰, 杨维慎, 林励吾. 催化学报 (Ji B F, Wang J B, Chu W L, Zhu X F, Yang W Sh, Lin L W. *Chin J Catal*), 2009, **30**: 375
- 15 Sam D S H, Soenen V, Volta J C. *J Catal*, 1990, **123**: 417
- 16 Gao X T, Ruiz P, Xin Q, Guo X X, Delmon B. *Catal Lett*, 1994, **23**: 321
- 17 Solsona B, Dejoz A, Vaquez M I, Maquez F, Loez Nieto J M. *Appl Catal A*, 2001, **208**: 99
- 18 Chao Z S, Ruckenstein E. *J Catal*, 2004, **222**: 17
- 19 Wei Y L, Wang Y M, Zhu J H, Wu Z Y. *Adv Mater*, 2003, **15**: 1943
- 20 Chen K D, Xie S B, Bell A T, Iglesia E. *J Catal*, 2001, **198**: 232
- 21 Gao X T, Wachs I E. *J Phys Chem B*, 2000, **104**: 1261
- 22 Hess C, Hoefelmeyer J D, Tilley T D. *J Phys Chem B*, 2004, **108**: 9703
- 23 Khodakov A, Olthof B, Bell A T, Iglesia E. *J Catal*, 1999, **181**: 205
- 24 Rao N S, Palanna O G. *Bull Mater Sci*, 1993, **16**: 37
- 25 Krasnenko T I, Dobosh V G, Svetlakov S V, Mizin V G, Vasutinskaya E F. *Zh Neorg Khim*, 1999, **44**: 485
- 26 Gao X T, Bare S R, Weckhuysen B M, Wachs I E. *J Phys Chem B*, 1998, **102**: 10842
- 27 Chen K D, Bell A T, Iglesia E. *J Catal*, 2002, **209**: 35
- 28 Khodakov A, Yang J, Su S, Iglesia E, Bell, A T. *J Catal*, 1998, **177**: 343
- 29 Clark G M, Morley R. *J Solid State Chem*, 1976, **16**: 429
- 30 Gopal R, Calvo C. *Acta Crystallogr Sect B*, 1974, **30**: 2491
- 31 Chen K D, Khodakov A, Yang J, Bell A T, Iglesia, E. *J Catal*, 1999, **186**: 325
- 32 Argyle M D, Chen K D, Resini C, Krebs C, Bell A T, Iglesia E. *J Phys Chem B*, 2004, **108**: 2345